

## فصلنامه علمی- ترویجی پدافند غیرعامل

سال سوم، شماره ۴، زمستان ۱۳۹۱، (پاپ ۱۲)؛ صص ۶۹-۷۸

# سنتر و بررسی کاتالیست زئولیت Y

## با رویکرد پدافند غیرعامل

سید لطف الله شریفی آل‌هاشم<sup>۱</sup>، میثم صادقی<sup>۲</sup>

تاریخ دریافت: ۹۱/۰۸/۰۵

تاریخ پذیرش: ۹۱/۱۱/۱۵

### چکیده

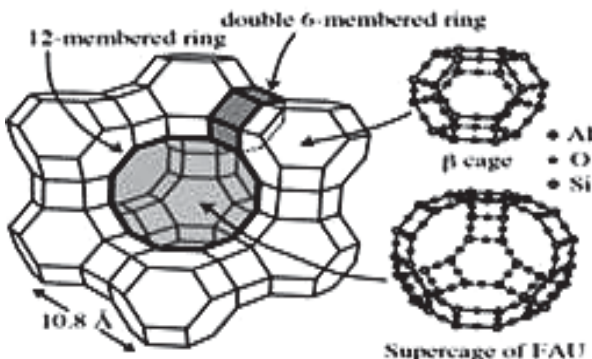
در این تحقیق، زئولیت NaY به روش هیدروترمال سنتر شده و سپس با استفاده از روش تبادل یونی، یون‌های نقره در منافذ زئولیت NaY کپسوله گردیدند. مورفولوژی و ساختار نمونه‌ها به روش‌های SEM/EDAX، XRD، FTIR و AAS مورد شناسایی قرار گرفت. واکنش رفع آلودگی ۲-کلرو اتیل فنیل سولفید (2-CEPS) به‌وسیله کاتالیست زئولیت Ag-NaY با روش GC بررسی شده است. نتایج آنالیز با GC نشان می‌دهد که این زئولیت قادر است پس از گذشت ۲۴ ساعت (با نسبت مولی ۱:۲۰) در دمای محیط، ۷۶ درصد از ۲-کلرو اتیل فنیل سولفید را جذب کند. ثابت سرعت و نیمه عمر واکنش به ترتیب  $10^{-5} \text{ s}^{-1}$ ،  $1.68 \times 10^{+4} \text{ s}^1$  و  $4/125 \times 10^{-5} \text{ s}^{-1}$  محسوبه شد. بدیهی است که رفع آلودگی شبه‌عامل خردلی به عنوان یک هدف مهم در پدافند غیرعامل مورد بررسی قرار گرفته است.

**کلیدواژه‌ها:** زئولیت NaY، زئولیت Ag-NaY، ۲-کلرو اتیل فنیل سولفید، رفع آلودگی، پدافند غیرعامل

۱- مربی و عضو هیئت علمی دانشگاه جامع امام حسین(ع)

۲- دانش‌آموخته کارشناسی ارشد شیمی معدنی، دانشگاه جامع امام حسین(ع) - نویسنده مسئول Meysamsadeghi45@yahoo.com

و تعداد مولکول‌های آب کوئور دینه شده می‌باشند. یکی از مهم‌ترین زئولیت‌ها، فوژاسیت یا زئولیت نوع-Y است. این رئولیت از دو قسمت قفس کوچک بتا و سوپر قفس آلفا تشکیل شده است. قطر منافذ آن بیشتر از  $7/4$  آنگستروم و دارای حلقه ۱۲ عضوی اکسیژن می‌باشد. از طرفی دارای حجم کسری  $0/48$  با نسبت سیلیسیم به آلومینیوم حدود  $2/43$  و در دمای  $793$  درجه سانتی‌گراد آب موجود در منافذ خود را از دست می‌دهد (شکل ۱) [۷].



شکل ۱- ساختار زئولیت نوع-Y [۷]

## ۲- بخش تجربی

### ۲-۱- مواد مورد استفاده

سدیم هیدروکسید، آلومینیوم تترا هیدرات، سدیم سیلیکات، اسید کلریدریک، اسید سولفوریک و آب اکسیژنه از شرکت مرک آلمان، نقره نیترات، پتانسیم کربنات و لیتیوم تترا بورات از شرکت Loba Chimie کشور هندوستان، ۲-کلرو اتیل فنیل سولفید با درجه خلوص  $98\%$  از شرکت Alfa Aesar، حلal هپتان و استاندارد درونی تولوئن با خلوص  $98\%$  از شرکت مرک آلمان خردباری شده‌اند.

### ۲-۲- وسایل و دستگاه‌ها

دستگاه SEM مدل 7353 EDAX (LEO 1455) که با بزرگنمایی  $10000\times$  و  $2000\times$  برای تصویربرداری به کار گرفته شد. مدل Sheifert 3003 TT که منبع نور X-ray مورد استفاده در آن تشکیل شده‌اند. واحدهای ترا اکسید آلومینیوم و ترا اکسید سیلیسیم مهم‌ترین بنیان‌های تشکیل‌دهنده ساختمان زئولیت به‌شمار می‌آیند. از کنار هم قرار گرفتن این واحدهای اولیه، واحدهای ثانویه و از تکرار این واحدهای واحدهای نهایی سودالیت، پنتاسیل و غیره تشکیل خواهد شد که ساختار اصلی زئولیت‌ها از آن‌ها ناشی می‌شود [۷]. فرمول کلی زئولیت‌ها بر اساس ساختمان سه‌بعدی آن‌ها به صورت  $M_{2/n}O \cdot Al_2O_3 \cdot ySiO_2 \cdot wH_2O$  می‌باشد. در این فرمول،  $y$  و  $w$  به ترتیب نشان‌دهنده ظرفیت کاتیون، تعداد اتم‌های سیلیسیم

### ۱- مقدمه

با توجه به سوء استفاده‌هایی که امروزه ابرقدرت‌های دنیا از مواد شیمیایی در قالب عوامل جنگ شیمیایی می‌کنند، بدیهی است که رفع آلودگی و جلوگیری از خطرات ناشی از این عوامل نیز می‌تواند یکی از فاکتورهای موثر در کاهش آسیب‌پذیری و از خاستگاه‌های پدافند غیرعامل باشد. آنچه بر همگان واضح است، این است که رشد و تعالی هر ارگان و سازمانی در سایه بهره‌گیری از فناوری‌های روز دنیا می‌باشد. بدیهی است که سازمان پدافند غیرعامل جدا از این امر نخواهد بود [۱ و ۲]. همان‌طور که می‌دانیم، سیستم‌های الک مولکولی غیر نانو در سال‌های اخیر روند رو به رشدی در تمام زمینه‌های علمی و فنی و بهویژه در حوزه نظامی و پدافند داشته و پیشرفت‌های اخیر صورت گرفته است. یکی از شاخص‌های این پروژه، بهره‌گیری از زئولیت‌ها به عنوان ماده رفع آلودگی شیمیایی می‌باشد [۳ و ۴]. واگنر و بارتام اولین افرادی بودند که به خنثی‌سازی شبیه‌عامل ۲-کلرو اتیل فنیل سولفید با استفاده از زئولیت‌های  $Ag-NaY$  و  $NaY$  پرداختند [۵ و ۶]. در این پروژه، هدف اصلی، رفع آلودگی یکی از شبیه‌عامل‌های خردی یعنی ۲-کلرو اتیل فنیل سولفید در قالب استفاده از کاتالیست زئولیت  $Ag-NaY$  می‌باشد [۵]. گفتنی است که در جنگ تحمیلی نیز خسارات جبران‌ناپذیری بر کشور تحمیل نمود. کاهش تاثیرپذیری عوامل مخرب، یکی دیگر از اهداف پدافند غیرعامل می‌باشد. استفاده از این زئولیت به عنوان پوشش مقاوم در برابر عوامل شیمیایی، یکی از اهداف مهمی است که می‌توان در آینده آن را مورد بررسی قرار داد. ارتباط این پروژه با پدافند غیر عامل از این حیث است که پدافند غیرعامل پایدارترین، ارزان‌ترین و صلح‌آمیزترین روش دفاع را فراهم ساخته و در سطح کلان امکان ایمن‌سازی مراکز حیاتی و حساس را مهیا می‌سازد و این در حالی است که هدف اصلی این پروژه، دستیابی به سطح مؤثر و بالایی از رفع آلودگی و کاهش خطرات ناشی از عوامل شیمیایی با صرف هزینه و زمان کمتر و در دسترس بودن می‌باشد.

زئولیت، یک نوع پلیمر معدنی به شمار آمده و از آلومینو سیلیکات‌های فلزات قلیایی و قلیایی خاکی و در بعضی موارد از فلزات واسطه تشکیل شده‌اند. واحدهای ترا اکسید آلومینیوم و ترا اکسید سیلیسیم مهم‌ترین بنیان‌های تشکیل‌دهنده ساختمان زئولیت به‌شمار می‌آیند. از کنار هم قرار گرفتن این واحدهای اولیه، واحدهای ثانویه و از تکرار این واحدهای واحدهای نهایی سودالیت، پنتاسیل و غیره تشکیل خواهد شد که ساختار اصلی زئولیت‌ها از آن‌ها ناشی می‌شود [۷]. فرمول کلی زئولیت‌ها بر اساس ساختمان سه‌بعدی آن‌ها به صورت  $M_{2/n}O \cdot Al_2O_3 \cdot ySiO_2 \cdot wH_2O$  می‌باشد. در این فرمول،  $y$  و  $w$  به ترتیب نشان‌دهنده ظرفیت کاتیون، تعداد اتم‌های سیلیسیم

بدون اینکه اثری منفی بر روی روند واکنش داشته باشد). در ادامه ۲۰۰، ۳۰۰ میلی گرم از زئولیت سنتز شده را در این محلول ریخته و به وسیله همزن مغناطیسی هم زده شدند. پس از گذشت زمان های ۲۰، ۲۴ و ۸ ساعت به وسیله میکروسورنگ، ۱۰ میکرولیتر از محلول استخراج و به ستون دستگاه GC تزریق شد.[۹].

**۶-۲- روش کار با دستگاه طیفسنج جذب اتمی (AAS) برای بررسی میزان درصد عنصر نقره در زئولیت سنتری**  
در این مرحله برای آماده سازی نمونه، مقدار ۰/۴۵ گرم از زئولیت را وزن کرده و در یک کروزه پلاتینی ریخته شد. سپس ظرف به مدت ۲ ساعت در دمای ۸۰ درجه سانتی گراد حرارت داده شد. بعد از آن، نمونه سرد شده و به آن ۰/۹ گرم از مخلوط مذاب پتابسیم کربنات و لیتیوم ترا بورات با نسبت وزنی (۱:۲) اضافه و بار دیگر مخلوط به مدت ۲ ساعت در کوره و در همان دمای قبلی گذاشته شد. این کار به تجزیه مخلوط کمک می کند. مخلوط سپس به یک بشر ۱۵۰ میلی لیتری منتقل شده و با مخلوطی از اسیدهای معدنی قوی شامل ۴ میلی لیتر اسید کلریدریک ۱۲ مولار و ۱۰ میلی لیتر اسید سولفوریک ۱۰٪ ترکیب و دهانه ظرف به وسیله یک شیشه ساعت بسته شد. در ادامه، مخلوط به مدت ۳۰ دقیقه بر روی حرارت قرار داده شد و در این حین ۴ میلی لیتر آب اکسیژنه ۳۰٪ اضافه کرده و چند دقیقه بر روی شعله گذاشته شد تا به جوش آید. در انتهای، نمونه سرد شده و در یک فلاسک حجم سنجی قرار گرفته و با آب مقطر در pH حدود ۸ شسته و در دمای ۱۰۰ درجه سانتی گراد در کوره خشک شد.[۸].

### ۳- بحث و نتایج

تبادل یونی تکنیکی است که در آن، ترکیب در یک محلول آبی از یک نمک قابل انحلال قرار می گیرد. این واکنش شامل جایگزین شده یک یون به جای یون دیگر است.  $\text{Ag}^+$  یک کاتیون تک ظرفیتی آزاد بوده که به صورت ذراتی تک هسته ای با پایداری بالا می باشد و به علت اثر قوی بر روی خواص جذب زئولیت ها شناخته شده است. زئولیت  $\text{NaX}$  ( $\text{Si}/\text{Al}=1.5$ ) سدیمی ( $\text{Si}/\text{Al}=2.5$ )  $\text{NaY}$  نسبت به زئولیت  $\text{NaX}$  ( $\text{Si}/\text{Al}=1.5$ ) دارای مقدار آلومینیوم کمتری می باشد و به همین دلیل خاصیت کاتالیستی آن کاهش می یابد. لذا برای افزایش کارایی و عملکرد کاتالیستی این ترکیب از روش تبدال یونی استفاده شده و در طی آن یون های نقره به جای یون های سدیم در منافذ داخلی و کانال های زئولیت کپسوله شدند.

### ۳-۱- نتایج حاصل از بررسی مورفولوژی ذرات سنتز شده به وسیله ریزنگارهای SEM

برای بررسی مورفولوژی زئولیت ها از میکروسکوپ الکترونی روبشی

واکنش خنثی سازی ۲-کلرو اتیل فنیل سولفید به وسیله زئولیت استفاده شد. دمای تزریق و دمای دتکتور  $230^\circ\text{C}$ ، دمای ثابت اولیه  $60^\circ\text{C}$  برای ستون به مدت ۴ دقیقه، تغییر دما از  $60^\circ\text{C}$  به  $20^\circ\text{C}$ /min و ثابت ماندن دما در  $20^\circ\text{C}$  برای ۱۳ دقیقه بود.

### ۳-۲- سنتر زئولیت سدیمی نوع- $\text{NaY}$ به روش هیدروترمال

برای سنتر زئولیت  $\text{NaY}$ ، ۱۰ گرم سدیم هیدروکسید در ۱۰ گرم آب حل شد. سپس ۹/۷۵ گرم آلومینیوم ترا هیدرات به محلول اضافه شد و تا دمای ۱۰۰ درجه سانتی گراد مخلوط هم زده شد. در ادامه، مخلوط در دمای ۲۵ درجه سانتی گراد خشک شد و سپس با ۲۰/۲۵ گرم آب مخلوط گردید. ۲۱/۹۷ گرم سدیم سیلیکات،  $61/2$  گرم آب و ۵/۹۱۲ گرم سدیم هیدروکسید با هم مخلوط شدند و سرانجام دو محلول خلیل سریع با هم مخلوط شده و به مدت ۳۰ دقیقه توسط همزن مغناطیسی هم زده شدند. در ادامه، سوسپانسیون به یک بطی پلی اتیلنی منتقل و در اتوکلاو به مدت ۸ ساعت در دمای ۹۰ درجه سانتی گراد قرار داده شد. سپس محصول جامد صاف و با آب مقطر در pH حدود ۸ شسته و در دمای ۱۰۰ درجه سانتی گراد در کوره خشک شد.[۸].

### ۴-۲- تهیه زئولیت نقره ای $\text{Ag}-\text{NaY}$ به روش تبادل یونی

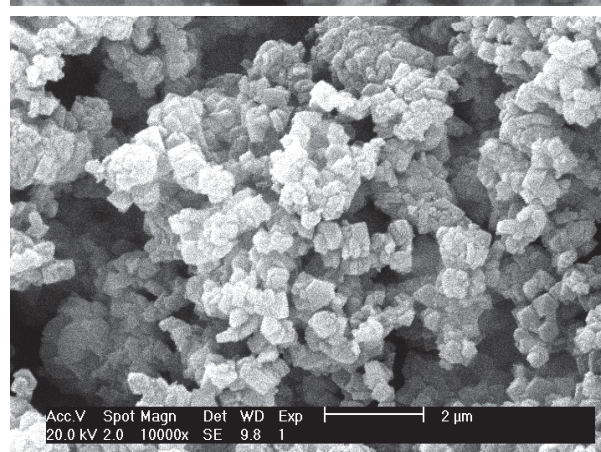
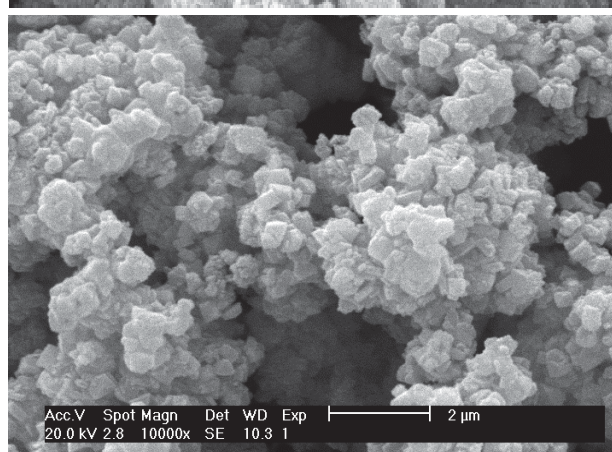
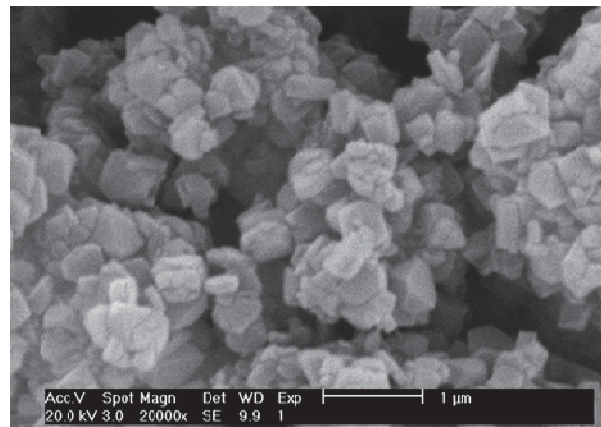
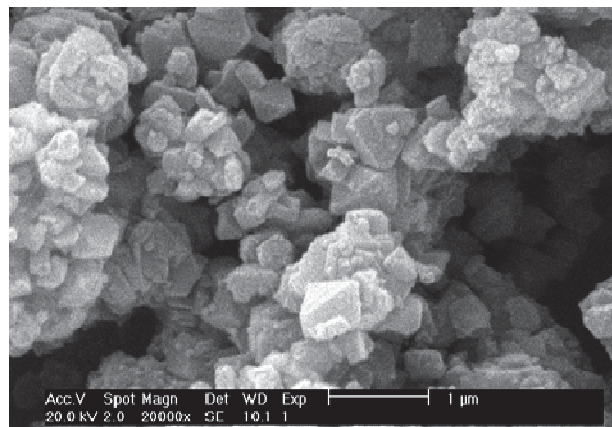
ابتدا ۲ گرم از زئولیت  $\text{NaY}$  سنتز شده به مدت ۴ ساعت در دمای ۴۰ درجه سانتی گراد کلسینه شد. پس از کلسینه کردن، ۵۰ میلی لیتر  $1/\text{AgNO}_3$  مولار به آن اضافه شد. بعد مخلوط به مدت ۵ ساعت در دمای ۶۰ درجه سانتی گراد توسط همزن مغناطیسی هم زده شد. بعد از سنتز زئولیت  $\text{Ag}-\text{NaY}$ ، صاف شده و با آب دیونیزه شستشو داده شد (برای مشخص شدن ورود کاتیون های نقره به منافذ زئولیت، به محلول زیر صافی، پتابسیم کلرید اضافه شد؛ عدم تشکیل هرگونه رسوب نشان دهنده کپسوله شدن و ورود کاتیون های نقره در ساختار زئولیت  $\text{NaY}$  می باشد). بعد از شستشو دادن، زئولیت سنتز شده به مدت ۱۶ ساعت در دمای ۱۱۰ درجه سانتی گراد قرار گرفت تا خشک شود. در آخر، زئولیت  $\text{Ag}-\text{NaY}$  خشک شده به کوره گرمایی انتقال یافته تا به مدت ۴ ساعت در دمای ۴۰۰ درجه سانتی گراد کلسینه شود [۵].

### ۵-۲- رفع آلودگی شبکه عامل ۲ به وسیله زئولیت- $\text{Ag}-\text{NaY}$ با نسبت مولی ۱:۲۰ توسط تکنیک GC

در این مرحله، مقدار ۱۰ میکرولیتر از شبکه عامل ۲-CEPS در ۵ میلی لیتر حلal هپتان حل گردیده و ۱۰ میکرولیتر استاندارد درونی تولوئن به آن افزوده شد (علت استفاده از حلal غیر قطبی هپتان این بود که باعث پخش یکنواخت شبکه عامل بر روی زئولیت می شود

طرف دیگر چون ذرات نقره در منافذ و خلل و فرج‌های زئولیت کپسوله شده‌اند به طور ماکروسکوپی رؤیت نخواهد شد [۱۰]. بنابراین برای تعیین وجود عناصر تشکیل‌دهنده زئولیت‌ها به‌ویژه نقره، از آن‌ها الگوهای EDAX نیز گرفته شد (شکل ۳).

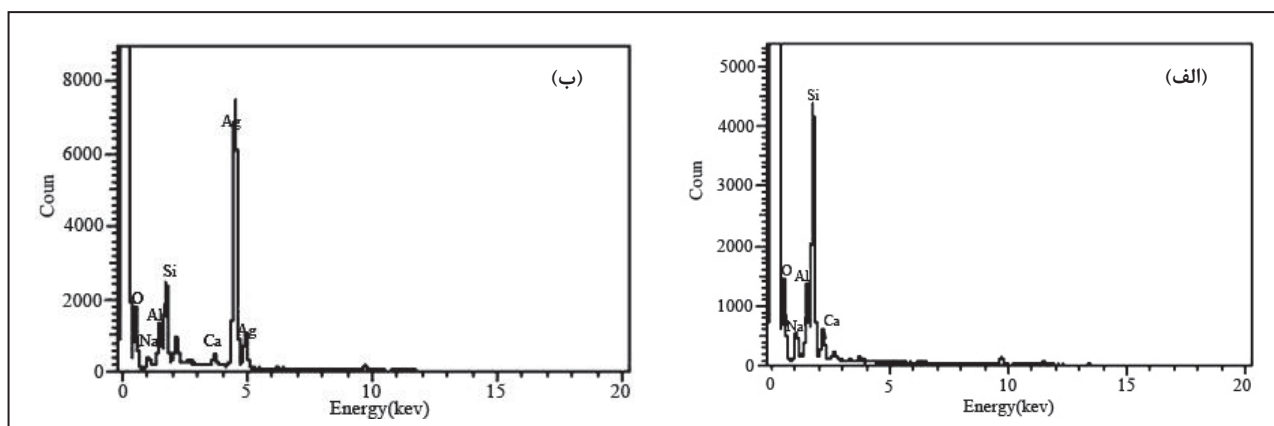
(SEM) استفاده شد. نمونه‌ها را پس از ترکیب با اتانول به‌وسیله طلا پوشش داده و تحت پلاسمای قرار می‌دهیم تا خشک شوند، سپس از آن‌ها تصاویر SEM با بزرگنمایی مختلف گرفته شد (شکل ۲). در اثر جایگزین کردن عنصر نقره به جای سدیم مورفولوژی، شکل و اندازه ذرات مکعبی تشکیل‌دهنده زئولیت Zn-NaY تغییر نخواهد کرد. از



(ب)

(الف)

شکل ۲- الگوهای SEM (الف) NaY، (ب) Ag-NaY



شکل ۳- الگوهای EDAX (الف) NaY، (ب) Ag-NaY

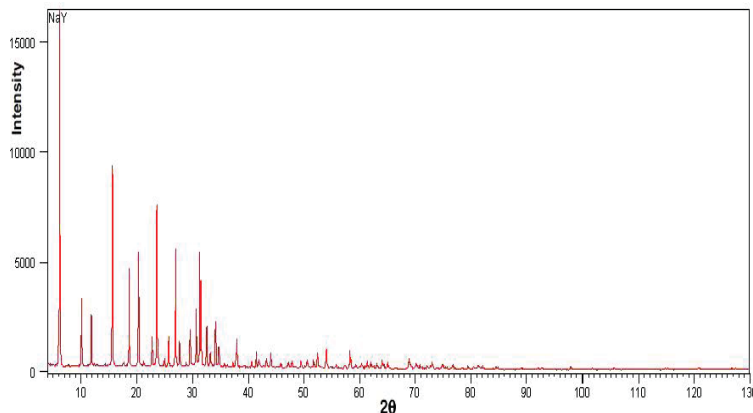
به ترتیب در شکل‌های (۶) و (۷) نشان داده شده است. پیک‌های متعلق به  $\text{H}_2\text{O}$  جذبی کثوردینه شده در ساختار زئولیت‌ها، تقریباً در حوالی عدد موجی  $1634\text{ cm}^{-1}$  و  $3479\text{ cm}^{-1}$  ظاهر شده‌اند [۱۲]. پیک ظاهرشده در  $3479\text{ cm}^{-1}$  مربوط به ارتعاش کششی  $\text{O-H}$ ، و پیک  $1634\text{ cm}^{-1}$  مربوط به ارتعاش خمши  $\text{H-O-H}$  می‌باشد. پیک ظاهر شده در محدوده  $990-1000\text{ cm}^{-1}$  مربوط به ارتعاش کششی نامتقارن  $\text{T-O}$  ( $\text{T=Si,Al}$ ) و پیک‌های ظاهرشده در محدوده زیر  $500\text{ cm}^{-1}$  تا  $990\text{ cm}^{-1}$  مربوط به ارتعاش کششی متقابلن (D6R)  $\text{T-O}$  است [۵]. پیکی که در  $466\text{ cm}^{-1}$  ظاهرشده مربوط به ارتعاش خمши  $\text{T-O}$  می‌باشد [۵]. از مقایسه دو طیف مشخص می‌شود که با ورود یون‌های نقره به ساختار زئولیت سدیمی، تغییری در پیک‌بربندی و ساختارش به وجود نمی‌آید [۱۲].

### ۲-۲- نتایج حاصل از بررسی مورفولوژی زئولیت‌های XRD به وسیله الگوی

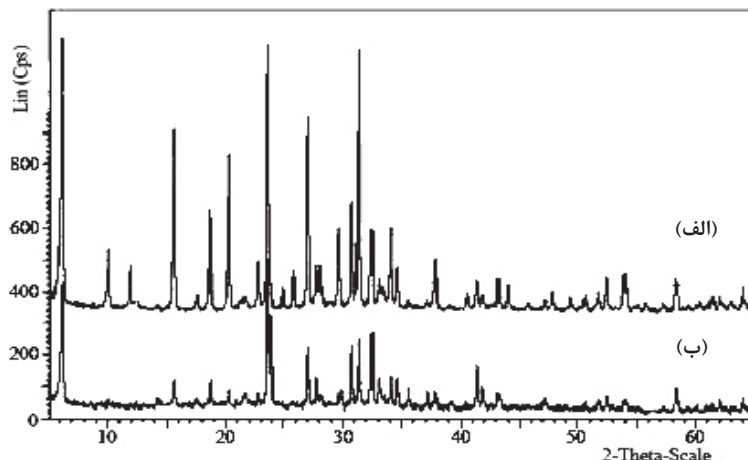
از الگوی XRD برای بررسی خواص ذرهای و ساختاری زئولیت‌ها استفاده شده است (شکل‌های ۴ و ۵). عدم وجود هرگونه پیک اضافی در الگوی XRD زئولیت سنتزی NaY حاکی از خلوص آن می‌باشد. از مقایسه الگوی پراش اشعه ایکس زئولیت‌های NaY و Ag-NaY با NaY می‌توان گفت که با جایگزین شدن عنصر نقره به جای سدیم در ساختار زئولیت NaY، به جز کاهش جزئی در شدت پیک‌های زئولیت Ag-NaY هیچ‌گونه تغییر دیگری مشاهده نمی‌شود و این خود دلیلی بر این مدعاست که ساختار زئولیت در حین فرآیند تبادل یونی و کپسوله شدن کاتیون‌های نقره دچار تخریب نشده است [۱۱].

### ۳- نتایج حاصل از بررسی مورفولوژی ذرات سنتزشده به وسیله FTIR

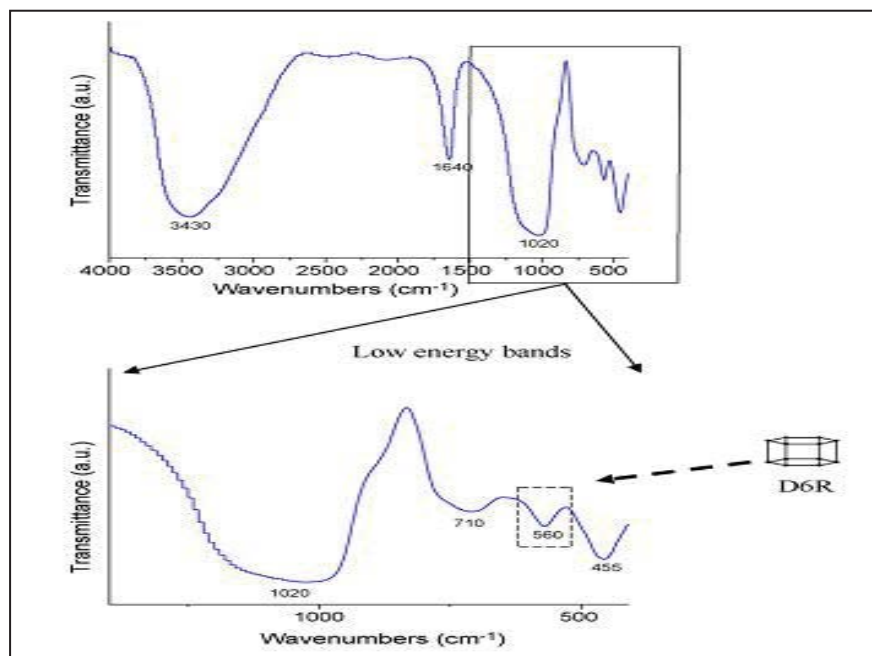
طیف FTIR زئولیت‌های مرجع NaY و سنتزشده Ag-NaY



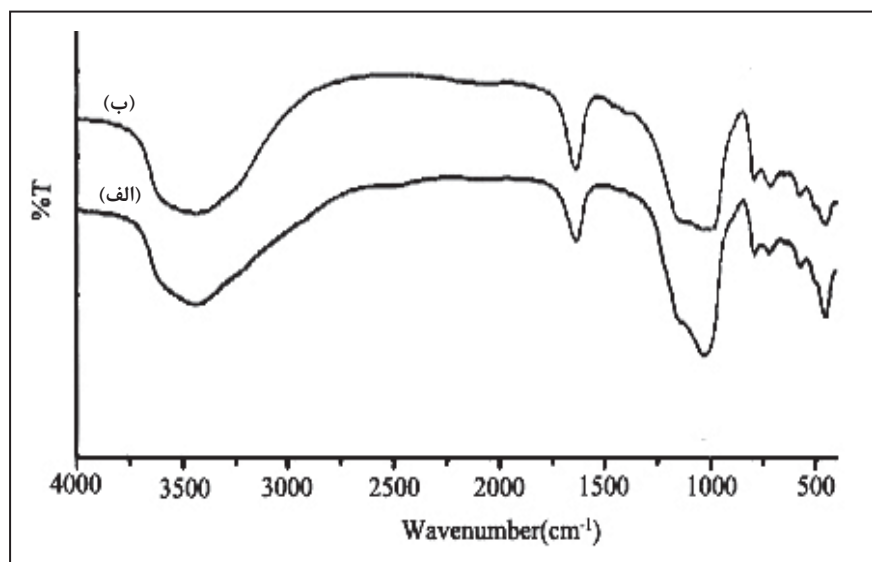
شکل ۴- الگوی XRD زئولیت مرجع [ ۱۱NaY ]



شکل ۵- الگوهای XRD زئولیت‌های (الف) NaY، (ب) Ag-NaY



شکل ۶- طیف FTIR زئولیت مرجع Y [۱۲]



شکل ۷- طیف‌های FTIR زئولیت (الف)، NaY (ب) ZnO

عنصر از رابطه (۱) به دست آمد:

$$\% \text{Ag} = R_a / R_{\text{std}} (C_{\text{std}} / W_a) (V_a) (M/F) (D.F) \times 100 \quad (1)$$

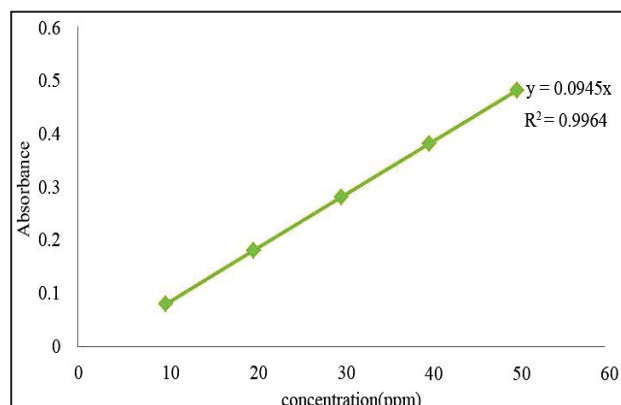
در این معادله،  $R_a$  رگرسیون مشخص شده به وسیله منحنی برای نمونه محلول،  $R_{\text{std}}$  رگرسیون مشخص شده به وسیله منحنی برای نمونه استاندارد،  $C_{\text{std}}$  غلظت محلول استاندارد (ppm)،  $W_a$  وزن نمونه خشک شده،  $V_a$  حجم اصلی محلول نمونه استفاده شده (ml)،  $M$  وزن

### ۴-۴- اندازه‌گیری مقدار عنصر نقره در زئولیت سنتزی با تکنیک AAS

برای بررسی میزان عنصر نقره در زئولیت، از روش طیفسنجی جذب اتمی (AAS) استفاده شد. نتایج حاصل از آنالیز زئولیت مورد نظر جهت اندازه‌گیری عنصر نقره در شکل (۸) به صورت جذب بر حسب غلظت آورده شده است. با توجه به منحنی استاندارد و به وسیله رقیق کردن نمونه، درصد

در این فرمول،  $V_{ds}$ ، حجم محلول رقیق شده و  $V_{ad}$ ، حجم کسری گرفته شده برای رقیق سازی است. با توجه به مقدار زئولیت ( $370/56$  ppm)، درصد وزنی عنصر نقره حدود ۲۲/۱۴ بودست آمد.

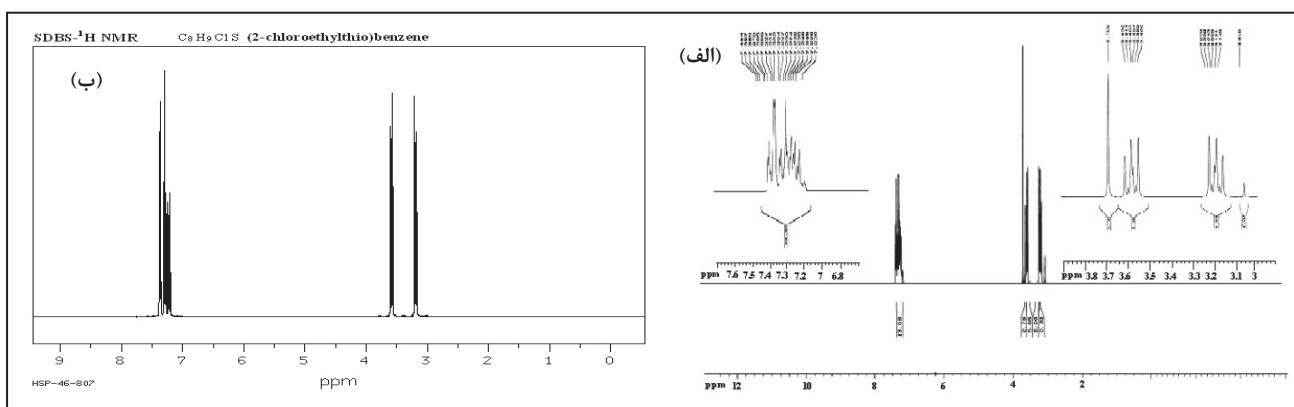
**۴-۳- بررسی میزان جذب شبه عامل 2-CEPS با روش GC**  
 برای بررسی خلوص شبه عامل ۲-کلرو اتیل فنیل سولفید از آن طیف  $^1\text{HNMR}$  گرفته و با طیف مرجع مقایسه گردید (شکل ۹). عدم وجود هر گونه پیک اضافی، ناشی از خلوص نمونه می‌باشد. بررسی واکنش در دمای محيط با شبه عامل خردی 2-CEPS به روش GC نشان می‌دهد که زئولیت Y Ag قابلیت بالایی برای رفع آلودگی شبه عامل ۲-کلرو اتیل فنیل سولفید را دارد، به طوری که پس از ۲۴ ساعت، ۷۶ درصد از آن در تماس با زئولیت جذب می‌شود. کروماتوگرام‌ها و همچنین داده‌های استخراج شده از آن‌ها در شکل‌های (۱۰) و (۱۱) و جدول (۱) نشان داده شده است. همان‌طور که از کروماتوگرام‌ها مشخص است، از پایین به بالا یک روند و با افزایش زمان واکنش، کاهشی در سطح زیر پیک شبه عامل 2-CEPS نسبت به استاندارد درونی تولوئن دیده می‌شود.



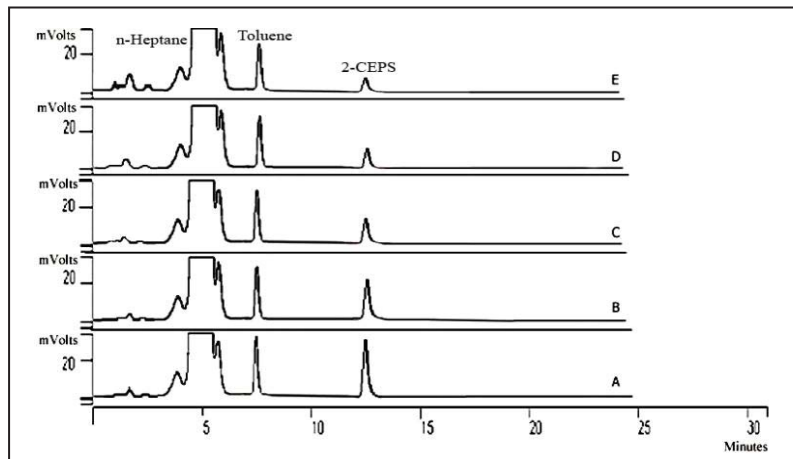
شکل ۸- منحنی استاندارد جذب اتمی عنصر نقره

مولکولی عنصر نقره در اکسید (g/mol), F وزن فرمولی عنصر نقره (g/mol) و D.F عامل رقیق سازی می‌باشد. برای محاسبه F از رابطه (۲) استفاده شد:

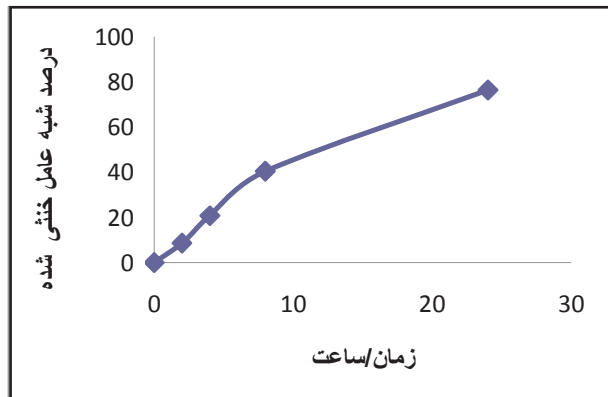
$$D.F: V_{ds}/V_{ad} \quad (2)$$



شکل ۹- طیف  $^1\text{HNMR}$  شبه عامل (الف) خریداری شده، (ب) مرجع



شکل ۱۰- کروماتوگرام GC مخلوط واکنش 2-CEPS با زئولیت Ag-NaY



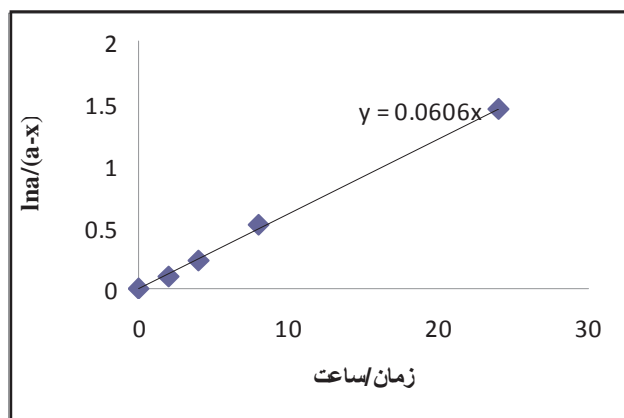
شکل ۱۱- نمودار درصد شبه عامل خنثی شده بر حسب زمان

جدول ۱- داده های استخراج شده از کروماتوگرام های واکنش شبه عامل ۲-کلرو اتیل فنیل سولفید (2-CEPS) با زئولیت Y با نسبت مولی ۱:۲۰، در حلال هبتان و در زمان های مختلف

ردیف	زمان (ساعت)	سطح زیر پیک تولوئن	سطح زیر پیک ۲-CEPS	نسبت سطح	درصد نسبی سطح
A	۰	۶۱۱۱۵	۳۱۲۰۱	۰/۵۱۰۵	۱۰۰
B	۲	۶۱۱۰۴	۲۸۴۹۳	۰/۴۶۶۳	۹۱/۳۴
C	۴	۵۹۹۷۸	۲۴۲۶۷	۰/۴۰۴۵	۷۹/۲۳
D	۸	۶۱۱۲۷	۲۰۲۱۶	۰/۳۳۰۷	۵۹/۴۹
E	۲۴	۶۱۰۹۲	۱۰۹۵۲	۰/۱۲۰۲	۲۳/۵۴

بودن واکنش بوده و ثابت سرعت و نیمه عمر با استفاده شبیه این منحنی به ترتیب  $s^{-1} \times 10^{-4}$ ,  $1/68 \times 10^{-4}$ ,  $4/125 \times 10^{-4}$  محاسبه شد.

نمودار  $\ln(a-x)/\ln(a)$  بر حسب زمان در شکل (۱۲) نشان داده شده است. منحنی خطی به دست آمده در این شکل نشان دهنده مرتبه اول

شکل ۱۲- نمودار  $\ln(a-x)/\ln(a)$  بر حسب زمان

#### ۴- نتیجه‌گیری

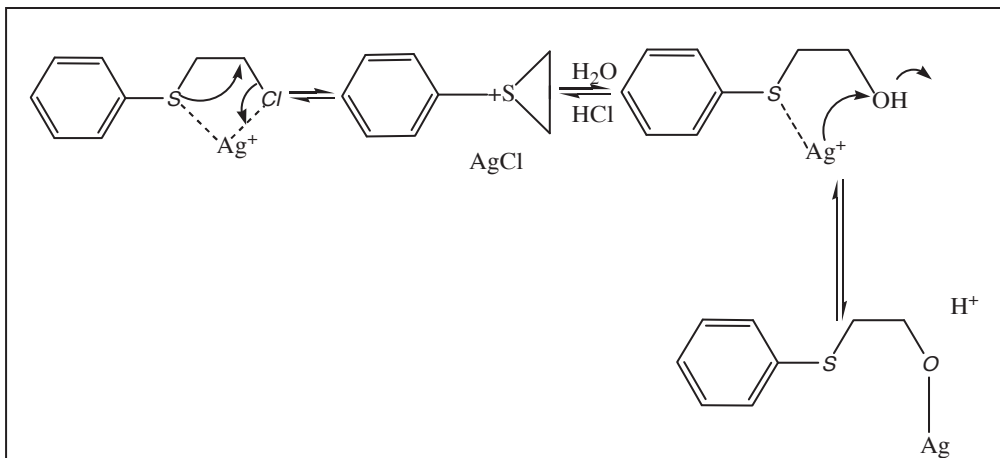
باتوجه به نتایج و دستاوردهای این پژوهه، ارتباط این پژوهه با پدافندها غیرعامل امری اجتناب ناپذیر خواهد بود چرا که در این پژوهه، اولاً رفع آلودگی عوامل شیمیایی جنگی که یکی از اهداف غیر قابل انکار پدافندها غیرعامل خواهد بود، به عنوان هدف اصلی مورد بررسی قرار گرفته است؛ ثانیاً، از آنجایی که پدافندها غیرعامل پایدارترین، ارزان-ترین و صلح‌آمیزترین روش دفاع را فراهم ساخته و در سطح کلان امکان این سازی مراکز حیاتی و حساس را مهیا می‌سازد، در این پژوهه نیز دستیابی به سطح مؤثر و بالایی از رفع آلودگی و کاهش خطرات ناشی از عوامل شیمیایی با صرف هزینه و زمان کمتر در سایه بهره‌گیری از سیستم‌های الک مولکولی زئولیتی به عنوان یکی از اهداف مدنظر قرار گرفته است. استفاده از زئولیت 2-CEPS-Ag-NaY رفع آلودگی شبه عامل 2-کلرو اتیل فنیل سولفید مورد بررسی قرار گرفت و مشخص گردید که این ترکیب قادر است در مدت ۲۴ ساعت (با نسبت مولی ۱:۲۰)، حدود ۷۶ درصد از شبه عامل را جذب کند.

#### ۵- مقایسه اثر افزایش نسبت مولی زئولیت به شبه عامل در افزایش واکنش جذب

با افزایش مقدار زئولیت به کاررفته نسبت به شبه عامل در آزمایش رفع آلودگی با نسبت‌های مولی ۱:۳۰ و ۱:۴۰، مقدار جذب 2-کلرو اتیل فنیل سولفید بر روی زئولیت افزایش خواهد یافت (جدول ۲). در شکل (۱۳) مکانیسم پیشنهادی جذب شبه عامل بر روی زئولیت Ag-NaY به صورت زیر آورده شده است. در این مکانیسم، کاتیون‌های نقره با حمله نوکلئوفیلی به اتم‌های کلر و گوگرد شبه عامل، با نوآرایی و حذف اتم کلر (واکنش کلریدایی) + $SCH_2CH_2$  تشکیل خواهد شد. در ادامه در حضور آب، با حمله‌های نوکلئوفیلی گروه هیدروکسید به قسمت اتیلنی حلقه و کاتیون‌های نقره به کاتیون گوگردی و حذف کلریدیریک اسید، حلقه باز می‌شود. در پایان واکنش، با نوآرایی کاتیون نقره و اکسیژن هیدروکسیلی، کاتیون  $H^+$  حذف می‌شود (واکنش هیدروژن زدایی) [۵].

جدول ۲- داده‌های استخراج شده از کروماتوگرام‌های واکنش شبه عامل 2-کلرو اتیل فنیل سولفید (2-CEPS) با زئولیت Ag-NaY با نسبت‌های مولی ۱:۳۰ و ۱:۴۰، در حلal هپتان و در زمان‌های مختلف

نسبت ۱:۴۰	نسبت ۱:۳۰	زمان (ساعت)
۱۰۰	۱۰۰	.
۷۷/۲۰	۸۵/۱۷	۲
۵۳/۶۸	۶۷/۵۳	۴
۲۱/۸۲	۳۸/۶۱	۸



شکل ۱۳- مکانیسم پیشنهادی جذب شبه عامل بر روی زئولیت Ag-NaY [۵]

## مراجع

1. Dishovsky, C., "Medical Treatment of Intoxications and Decontamination of Chemical Agents in the Area of Terrorist Attack", Springer, (2006).
2. FM 44-44, "Combined arms for air defence", <http://www.global security.org>.
3. Szinicz, L., "History of Chemical and Biological Warfare Agents", Toxicology. Vol. 214, pp 167-181, (2005).
4. Bärlocher, C.h.; Meier, W.M.; Olson D.H., "Atlas of Zeolite Framework Types", Rev. Ed., Elsevier, Amsterdam. Vol. 18, pp. 147-160, (2001).
5. Kim, S.O.; Park, E.D.; Ko, E.Y., "Zeolite and Sorbent for Desurfurization and Method of Preparing the Same", Patent 016, 25, 57 A1, (2006).
6. Koper O., Klabunde K.J., Martin L.S., Knappenberger K.B., Hladky L.L., Decker S.P., "Reactive nanoparticles as destructive adsorbents for biological and chemical contamination", US Pat. No. 0102136 A1, (2008).
7. Ghobarkar, H., Schläf, O, Guth U., "Zeolites – from Kitchen to Space", Prog. Solid. St. Chem., vol. 27, pp. 29 – 73, (1999).
8. Milad, R., Nakisa, Y., Sahar, C., Mohammad, R. S., "Effect of Nanocrystalline Zeoliye Y on Meta-xylene Separation", Micropo. Mesopor. Mater, Vol. 11, pp.045, (2011).
9. Mahato, T.H., Prasad, G.K., Beer, S and Batram, K., "mMesoporous Manganese oxide nanobelts for decontamination of saron, sulphur mustard and CEPS by GC method", Meso and Micro, Elsevier, (2009).
10. Liliana, F., António M. F., Gabriela B., Cristina Almeida-Aguiar., Isabel C., " Neves, Antimicrobial Activity of Faujasite Zeolites Doped with Silver Microporous and Mesoporous Materials, Vol. 160, pp. 126-132 (2012).
11. Oliveira, M.L.M., Miranda, A.A.L., Barbosa C.M.B.M., Cavalcante C.L. Jr., Azevedo, D.C.S. and Rodriguez-Castellon, E., "Adsorption of Thiophene and Toluene on NaY Zeolites Exchanged with Ag(I), Ni(II) and Zn(II)", Fuel Vol. 88, pp. 1885-1892, (2009).
12. Alberto, C., Andrew, J., "A NaY Zeolite Synthesized from Colombian Industrial Coal by-Products: Potential Catalytic Application"; Catalysis Today. Elsevier, Vol. 8, pp.1-7, (2012).

# Synthesis and Investigation of Zeolite Ag-NaY Catalyst with a Passive Defense Approach

S. L. Sharifi Al-e Hashem<sup>1</sup>

M. Sadeghi<sup>2</sup>

## Abstract

In this research, Zeolite NaY was synthesized by hydrothermal method and then, by using ion-exchange method, silver ions were capsulated in the pores of Zeolite NaY. The morphology and the structure of samples have been identified and characterized via SEM/EDAX, XRD, FTIR and AAS techniques. The decontamination reaction of 2-chloroethyl phenyl sulfide (2-CEPS) has been investigated by zeolite Ag-NaY catalyst using the GC method. The analytical results of GC show that this zeolite can absorb about %76 2-CEPS after 24 hours (with a ratio of 1:20) at ambient temperature. The rate constant and half life reaction were calculated  $4.125 \times 10^{-4}$  s,  $1.68 \times 10^{-5}$  s<sup>-1</sup> respectively. It is evident that pseudo- active mustard decontamination as an important objective in passive defense has been studied.

**Key Words:** *Zeolite NaY, Zeolite Ag-NaY, 2-Chloro Ethyl Phenyl Sulfide, Decontamination, Passive Defense*

---

1- Imam Hossein Comprehensive University, Instructor and Academic Member

2- Department of Chemistry, Faculty of Basic Sciences, Imam Hossein Comprehensive University (Meyamsadeghi45@yahoo.com) - Writer in Charge